

**Creation of a precision magnetic spectrometer  
SCAN-3 and research of non nucleon degrees of  
freedom in nuclei, nucleon correlations and  
nuclear fragmentation at the internal target of  
the Nuclotron.**

**Project SCAN-3**

# Collaboration

*Institute of Physics, Slovak Academy of Sciences, Slovak republic*

**J.Kliman, V.Matousek, S.Gmutsa, I.Turzo**

*Horia Hulubei National Institute of R&D for Physics and Nuclear engineering (IFIN-HH Bucharest, Romania)*

**I.Cruceru, F.Constantin, M.Cruceru, G.Niolescu, L.Ciolacu**

*Institute for Space Science, Bucharest-Magurele, Romania*

**M. Paraipan**

*Joint Institute for Nuclear Research, Dubna, Russia*

**S.V. Afanasiev, Yu.S.Anisimov, A. A.Baldin, A.I.Berlev, D.K.Dryablov, B.V.Dubinchik, A.F.Elishev, O.V.Fateev, Z.A.Igamkulov, L.V.Karnyushina, Yu.F.Krechetov, I.V.Kudashkin, Z.P.Kuznecova, S.N.Kuznechov, A.I. Malakhov, V.A.Smirnov, S.S.Shimansky**

*Institute advanced studies «OMEGA», Dubna, Russia*

**A.A.Baldin, A.I.Berlev, I.V.Kudashkin,**

*Faculty of Science, University of P.J. Šafárik, Košice, Slovak republic*

**S. Vokál, J. Vrláková**

*Lebedev Physical Institute, Leninsky Prosect 53, Moscow, Russia*

**V.A.Baskov, A.I. Lebedev, A.I. L'vov, L.N. Pavlyuchenko, V.V. Polyansky, E.V.Rzhanov, S.S. Sidorin, G.A. Sokol**

*PTI, Tomsk, Russia*

**I.V.Glavanakov, A.N.Tabachenko**

*Jizzakh State Pedagogical Institute, Uzbekistan*

**D.M. Jomurodov, R.N. Bekmirzaev**

*Samarkand State University, Uzbekistan*

**R.M.Ibadov, M.U. Sultanov**

## General aims of the project

---

This project is aimed at studies of highly excited nuclear matter created in nuclei by a high-energy deuteron beam. The matter will be studied through observation the products of decay – pairs of energetic particles with a wide opening angle, close to  $180^\circ$ .

A new precision hybrid magnetic spectrometer SCAN-3 is to be built for detecting charged ( $\pi^\pm$ ,  $K^\pm$ ,  $p$ ) and neutral ( $n$ ) particles produced at the Nuclotron internal target in  $dA$  collisions. The spectrometry of such pairs will enable to studies of

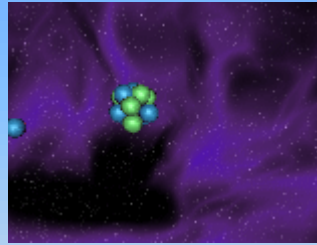
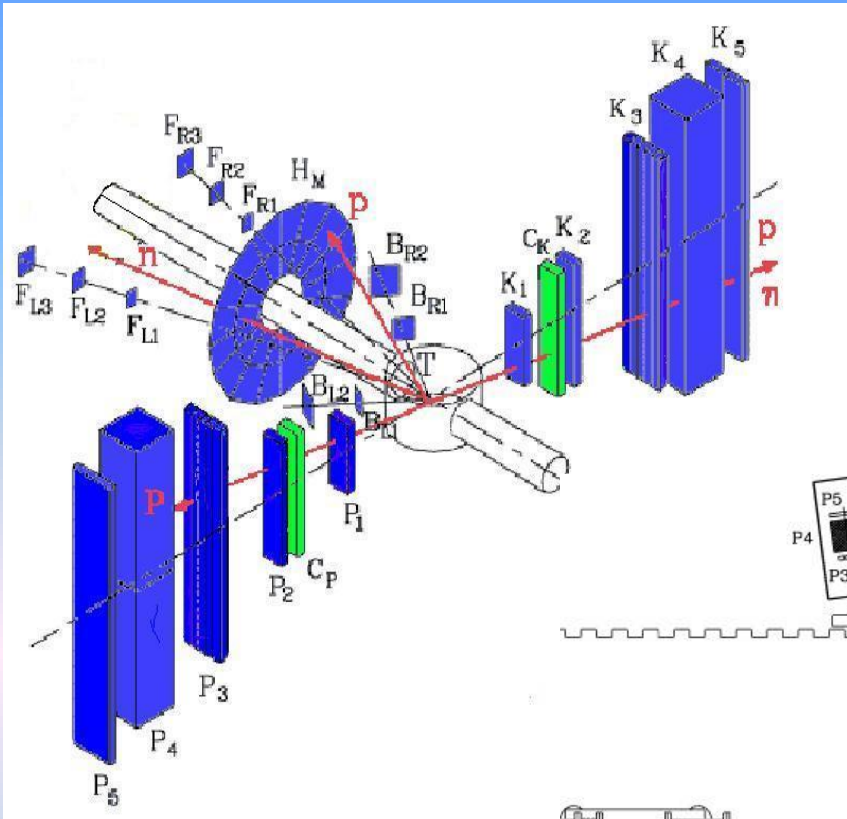
- low-energy  $\eta A$  interaction and a search for  $\eta$ -bound states ( $\eta$ -mesic nuclei);
- the  $\Delta$ -isobar produced and stopped inside the nuclear matter.

Beyond that detection of the pairs will enable to studies of

- $np$  and  $pp$  correlations;
- single and pair cumulative processes;
- heavy nuclei fragmentation to low-energy fragments.

# Project SCAN, 2006-2008

## Experimental setup

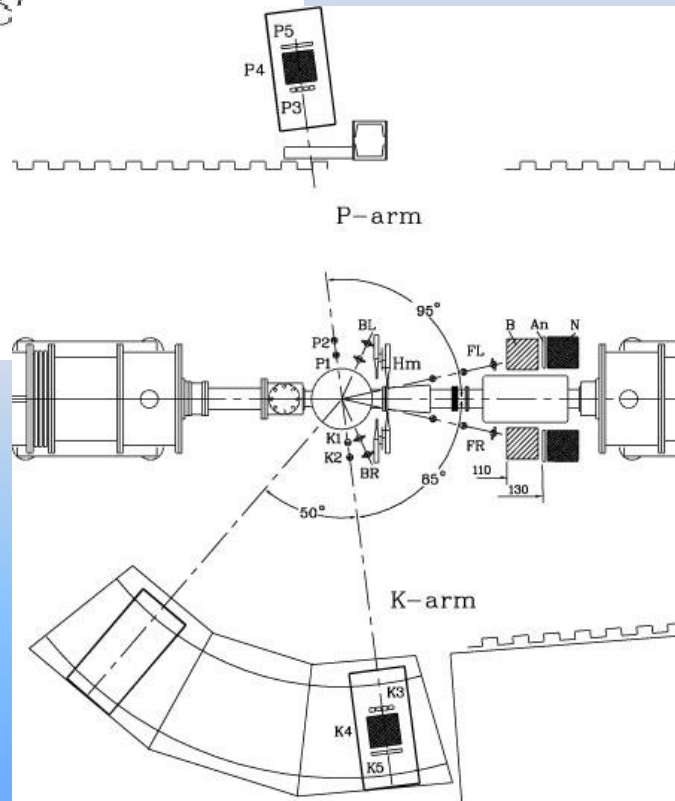


### K-arm

- K1 - Start counter*
- K2 - Trigger & Cherenkov counters*
- K3 - TOF - wall*
- K4 - E-counter*
- K5 - Veto counter*

### P-arm

- P1 - Start counter*
- P2 - Trigger & Cherenkov counters*
- P3 - TOF - wall*
- P4 - E-counter*
- P5 - Veto counter*



- Hm - Ring counter*
- N - Neutron detector*
- An - Neutron-Veto*

*FL,FR,BL,BR - Monitors*

$$S_{11} \rightarrow \pi p$$

$$\Theta_{\pi p} = 180^\circ \pm 10^\circ$$

$$T_p \approx 110 \pm 10 \text{ MeV}$$

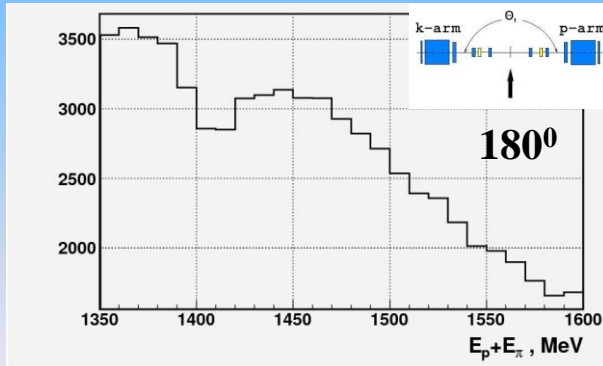
$$T_\pi \approx 350 \pm 30 \text{ MeV}$$

# Nuclotron based measurement of eta-nuclei.

Effective mass formation in dC reaction at the energy 2.0 GeV/nuc

$$Y(\pi,p) \propto 2.0 \text{ GeV}/c^2$$

Total events under picks  
 $\approx 2000$



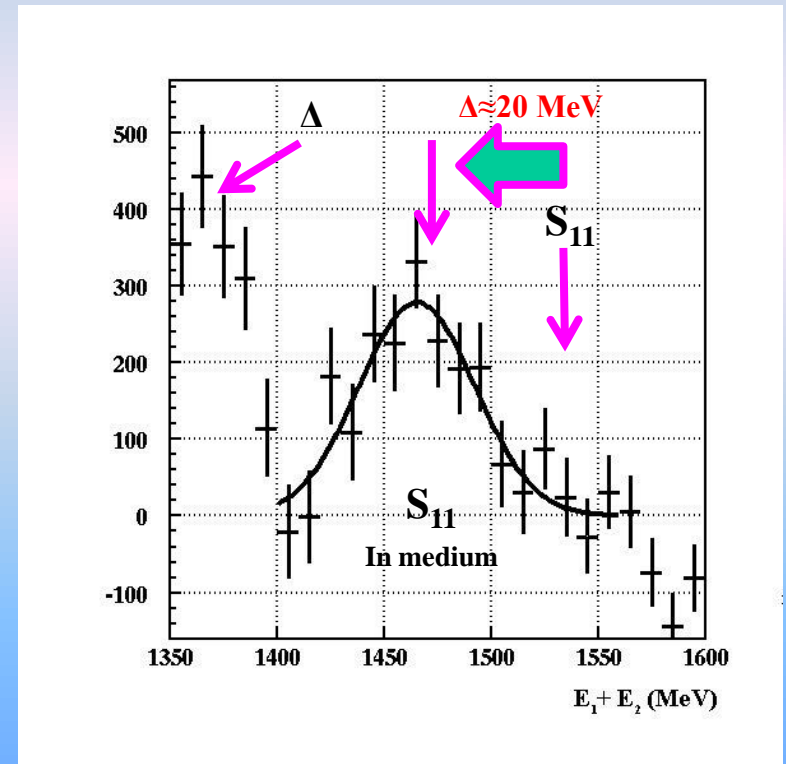
Best fit is Gaussian + constant

**Mean**            **1465.1 MeV**

**Sigma**            **27.2 MeV**

**Constant**        **1310**

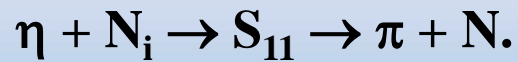
*Distribution  
after rejection  
of the  
constant level*



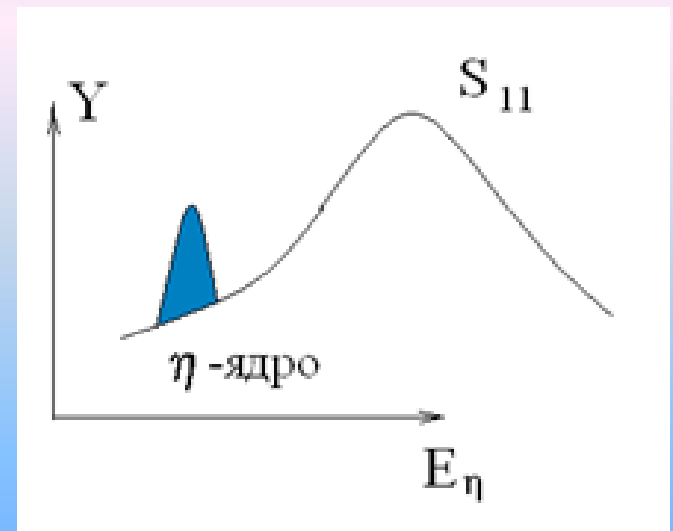
# What we are looking for?

The interaction of the  $\eta$ -meson with a nucleon near threshold is mainly determined by the  $S_{11}$ ,  $J^P = \frac{1}{2}^-$  resonance  $N^*(1535)$ , which is just 49 MeV above the  $\eta N$  threshold (1486 MeV) and has a width  $\Gamma = 150$  MeV, thus covering the whole low energy region of the  $\eta N$  interaction. As the  $S_{11}$ -resonance also decays to  $\pi N$ ,  $\gamma N$  and  $\pi\pi N$  channels involves its coupling to all these channels.

- *The criterion of a bound  $\eta$ -meson is the condition for the  $\pi N$  pair's total energy, which should be below the threshold:  $E_\pi + E_N < 1486$  MeV*



- *Next criterion of a bound  $\eta$ -meson is the width of the peak in the distribution of  $\pi N$  pairs which is not related to the width of the resonance  $S_{11}$  (1535).*



## Expected characteristics of pairs from decay of $\eta$ -nuclei and requirements to precisions of their measurements

The task of the experiment is the allocation and measurement of the narrow peaks in the energy distribution of pairs, which are products of  $\eta$ -nucleus decay.

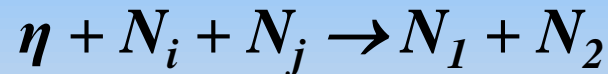
Apparently, future experiments should assume that the peak width will be about **10 MeV**, and therefore they should provide accurate measurements of particle energies will be not worse than  $\sim 3.5$  MeV, so that the accuracy of the total energy of the pair will be at least 5-7 MeV. The effects of an broadening of observable peak, caused by energy dispersion in cause intra nuclear nucleons motion. This dispersion a increases observable width of peak by  $\sim 20$  MeV. This moment is reduce the accuracy to the level of 10 MeV.

If we consider the process  $\eta + N_i \rightarrow \pi + N$  with initial particles at rest, the kinetic energy, momentum and velocity of the secondary particles can be estimated:

$$\begin{aligned}T_{\pi} &= \underline{\underline{313 \text{ MeV}}} \\T_N &= \underline{\underline{94 \text{ MeV},}} \\p_{\pi} &= \underline{\underline{431 \text{ MeV}/c,}}\end{aligned}$$

---

Besides the  $\pi N$  mode,  $\eta$ -nuclei can decay with emission of NN pairs due to the reaction



The rate of this decay channel is expected to be compatible with the rate of the channel  $\pi^- p$ .

Isotopic contents of the emerging NN system is

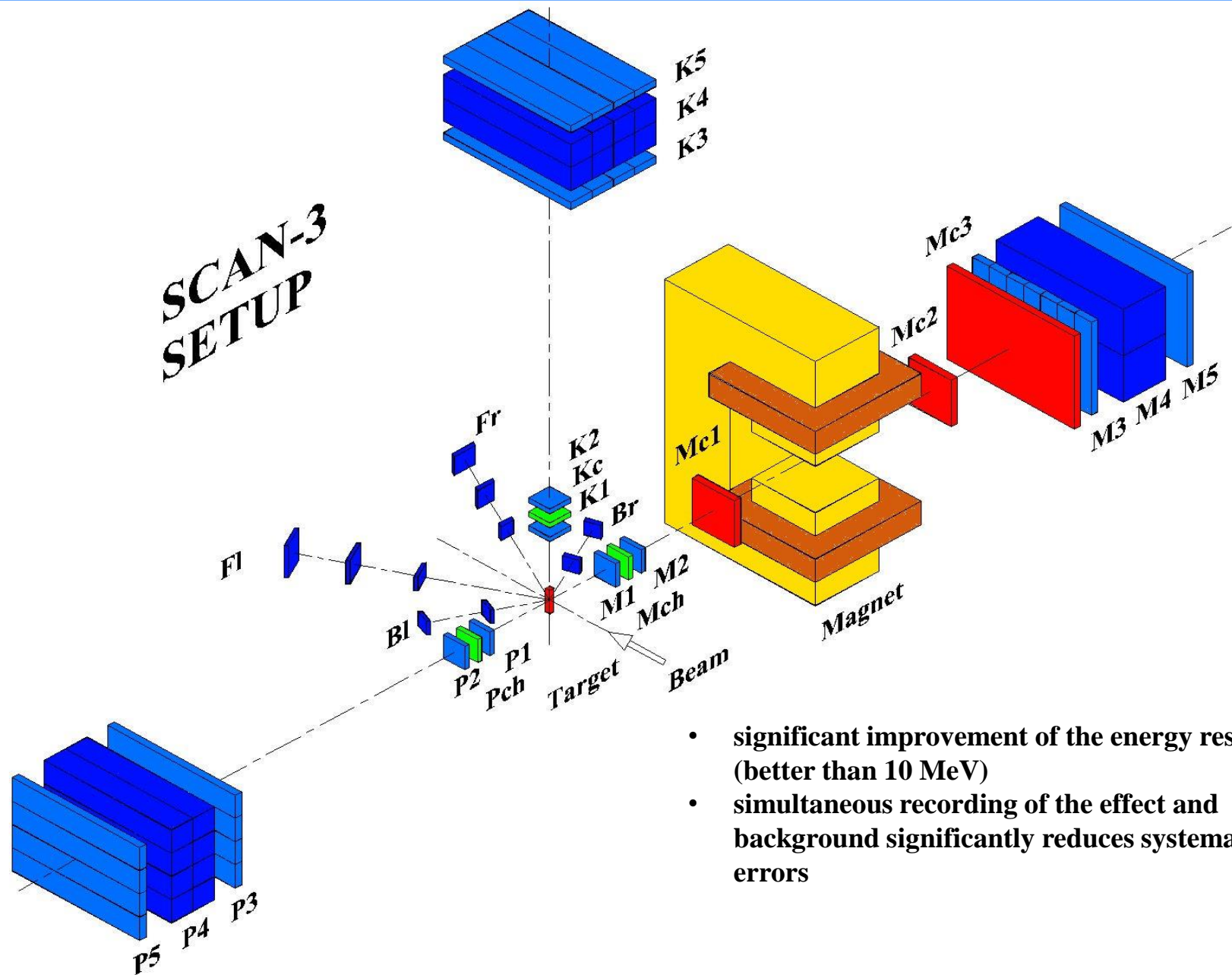
$$\approx 5\% pp, \approx 5\% nn, \approx 90\% pn$$

Such  $pn$  pairs having the kinetic energies

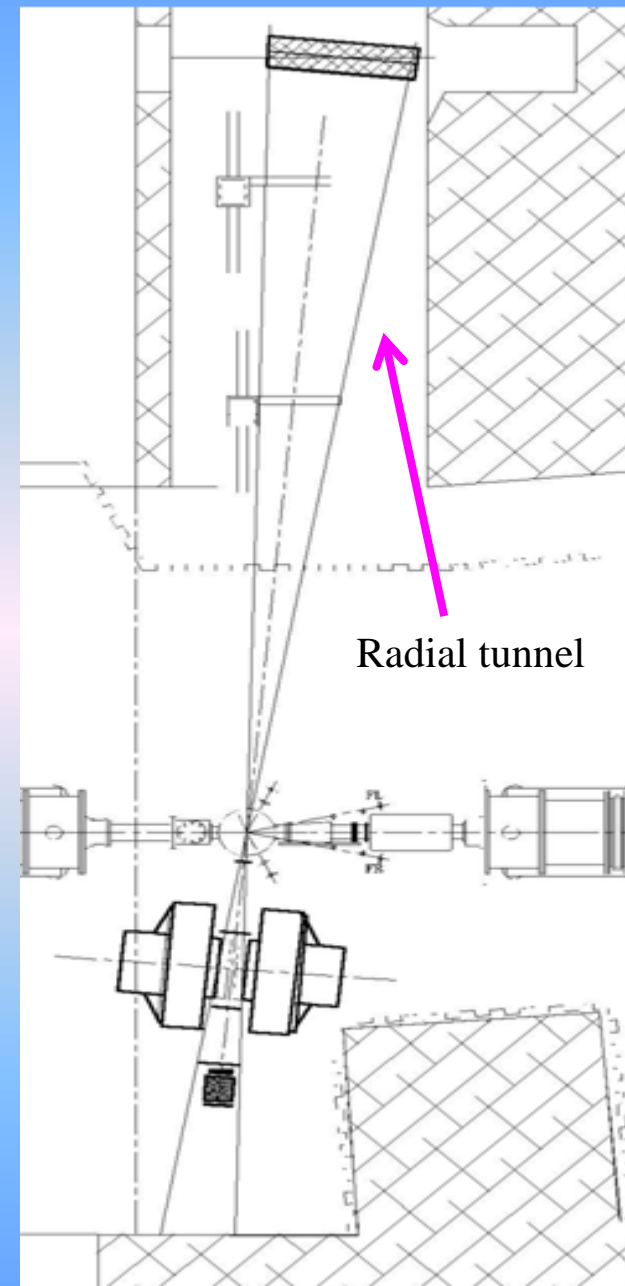
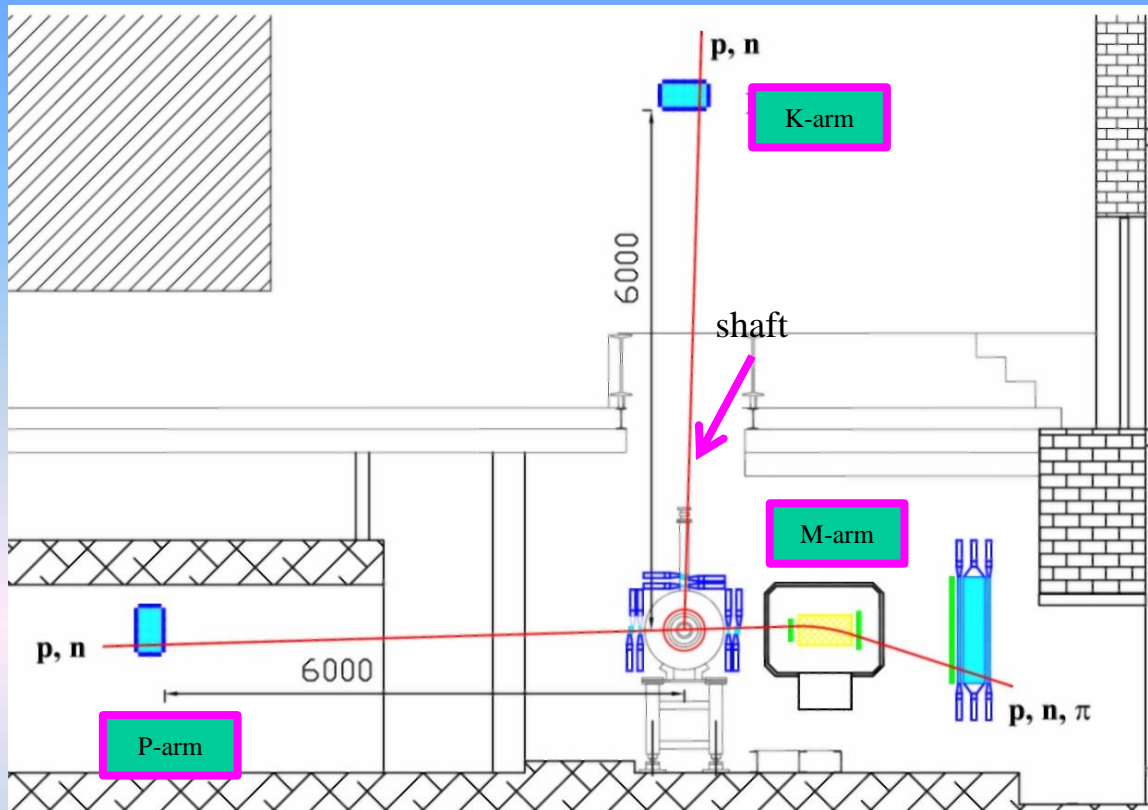
$$T_p \approx T_n \approx 270 \text{ MeV}$$



# Experimental setup



# Location of spectrometer






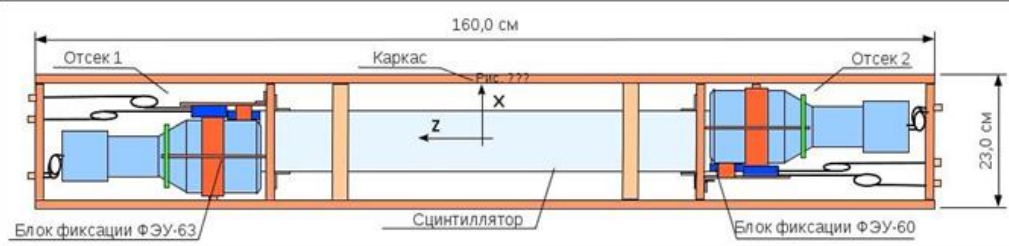
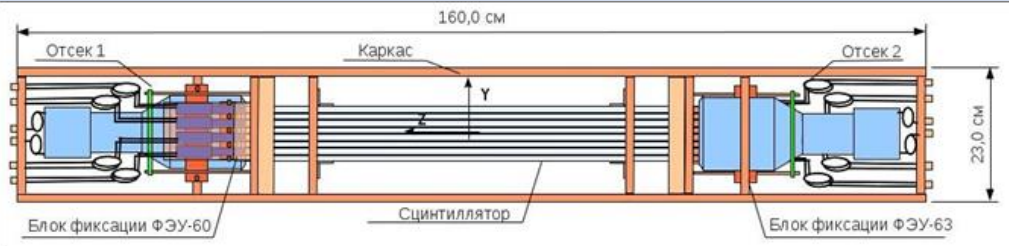
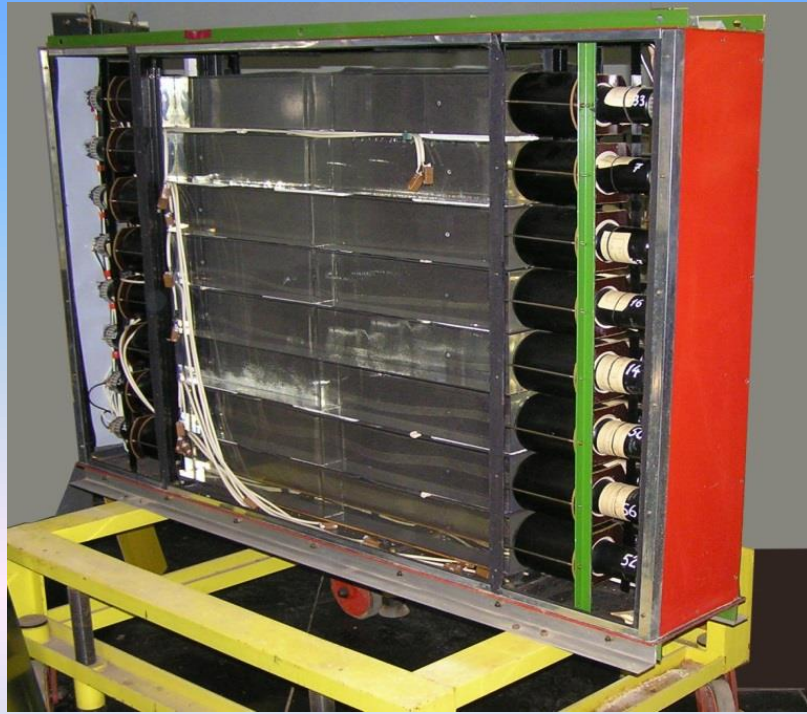
# Neutron detectors

Energy resolution  $\delta E_N \leq 10 \text{ МэВ}$ .

$$\delta E = \gamma^3 mc^2 \beta \delta\beta,$$

$E_N = 270 \text{ МэВ}$  ( $\beta = 0.63$  и  $\gamma = 1.29$ )  $L = 6 \text{ м}$

$\delta\beta = 0.8 \cdot 10^{-2}$    $\begin{cases} \delta t < 0.4 \text{ нс} \\ \delta L < 8 \text{ см} \end{cases}$



## R&D for neutron counter

Preliminary data gave a time resolution is better then 300 ps for neutron detection.

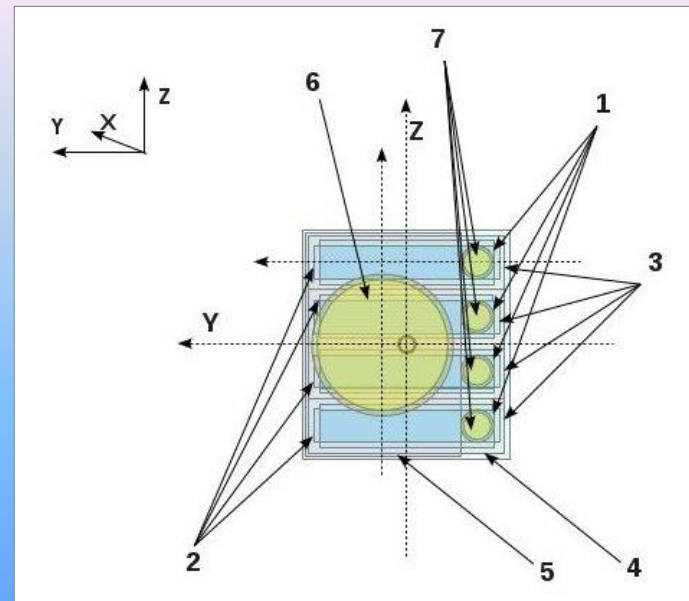
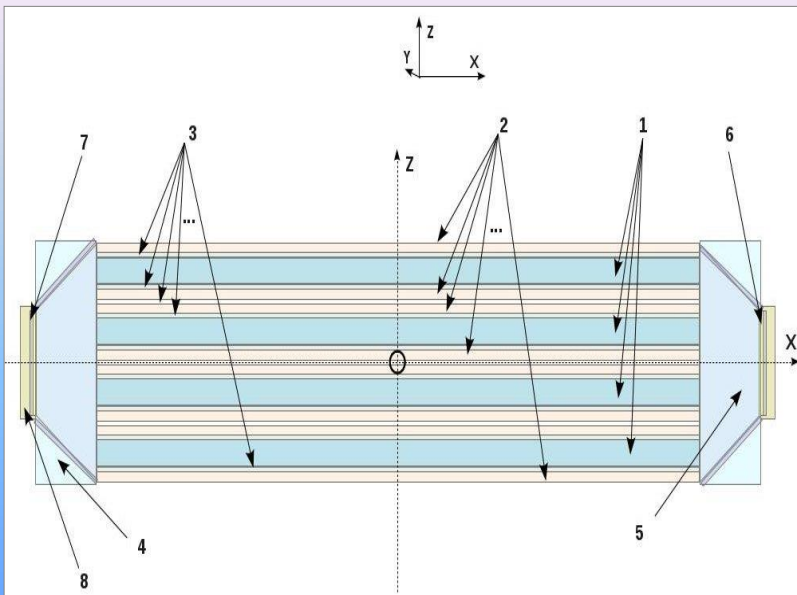
**Энергия нейтронов определяется по времени пролета на базе до 6 м.**

Один модуль детектора - сборку из четырех протяженных пластических сцинтиллятора толщиной 3 см, с торцов временные фэу с диаметрами фотокатода около 100 мм.

Для более точного определения базы пролета каждая пластина дополнительно просматривается двумя фэу диаметром фотокатода около 2 см.

Моделирование одной пластины длиной до одного метра показало, что необходимое разрешение по энергии нейтронов около **5 МэВ** в диапазоне около **100 МэВ** достигается при временном разрешении порядка **200 пс**.

Были исследованы временные характеристики сборки отдельных сцинтилляционных пластин с фэу **ФЭУ-63**, **P9814B** и **XP2020**, в качестве основных фотодетекторов в нейтронном канале. Приемлемые результаты получены **лишь с фэу XP2020**, временное разрешение на одной пластине порядка **250-280 пс**.



**Для достижения необходимого временного разрешения было предложено использовать фэу из системы идентификации пластины.**

В качестве кандидатов рассматриваются ФЭУ-85 и ФЭУ-87.

Проведено экспериментальное исследование временных характеристик этих фэу с разными делителями напряжения. ФЭУ-87 показал примерно на 20% более лучшее временное разрешение чем ФЭУ-85, однако эффективность регистрации света ФЭУ-85 примерно на 30 % процентов выше.

Выяснилось, что одновременное использование информации с фэу **XP2020** и **ФЭУ-87** (или **ФЭУ-85**) уже позволяет достичь необходимый уровень временного, а значит и энергетического разрешения для нейтронного детектора.

*Для выбора оптимального варианта сейчас проводятся дополнительные исследования.*

**В настоящее время для исследования элементов детектора нейтронов и заряженных частиц (протонов и легких ионов) используются:**

- изотопный источник  $^{90}\text{Sr}$  (*недостатки – непрерывный спектр электронов максимальной энергией всего 2.2 МэВ*);
- космическое излучение (*недостатки – низкая интенсивность*).

**Плюсы работы на квазимоноэнергетическом пучке электронов (позитронов):**

- высокая интенсивность;
- варьирование энергии электронов;
- хорошее координатное разрешение (*определяется мониторными счетчиками и годоскпом*);
- Дистанционное сканирование по площади детектора.

***В результате, существенное сокращение времени создания детектора !***

Name of components and system at plant, resources, funding sources		Cost of components (k\$)	Proposals of laboratories on financing and resources			
			2017	2018	2019	
Basic components and equipment		Dipole magnet	65	-	-	-
		Coordinate detectors				
		Drift chambers	40	28	-	-
		Proportional chambers	15	-	-	-
		Neutron detectors	160	-	-	-
		Scintillation counters	45	1	-	-
		Electronics of DAQ	42	8	1	1
		HV supply	39	-	-	-
		Gases support system	25	1	-	-
Essential resources	Hours	Model shop at JINR	-	-	-	-
		Laboratory	500	300	100	100
		model shop	160	100	20	40
	hours	Accelerator Nuclotron	1200	400	400	400
		Computer	-	-	-	-
		Operating costs	3	1	1	1
Funding sources	Budget	budget costs, including currency account	43	39	2	2
	Founding sources	collaborates holding, grants, sponsors, agreements, other sources.	391			



# Summary

---

As a result of project implementation we plan:

- ❑ to create a precision magnetic spectrometer for the measurement of correlated pairs with an energy resolution up to 4-5 MeV;
- ❑ studies of correlated hadron pairs ejected from the target in  $dA$  collisions;
- ❑ studies of the  $S_{11}(1535)$  and  $\Delta(1232)$  resonances in the nuclear matter;
- ❑ determination of binding energies and widths of  $\eta$  in nuclei;
- ❑ measurements of the cross section  $\sigma(\eta A)$  of  $\eta$ -nuclei formation in  $dA$  collisions; measurements of the  $A$ -dependence of  $\sigma(\eta A)$ ;
- ❑ measurements of relative rates of  $\pi^-p$  и  $pN$  events;
- ❑ measurements of relative rates of  $\pi^+p$ ,  $\pi^-p$  and  $pN$  events.

---

Thank you  
for attention!